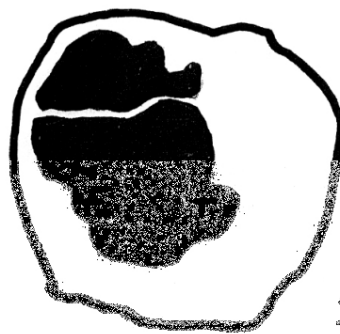
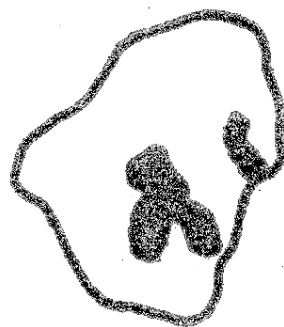




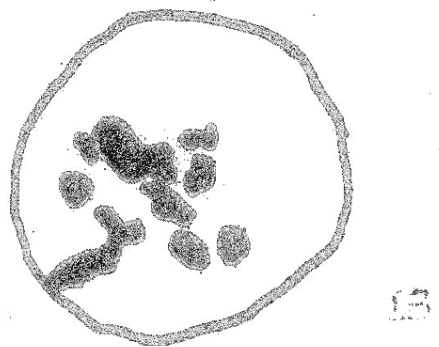
I 2

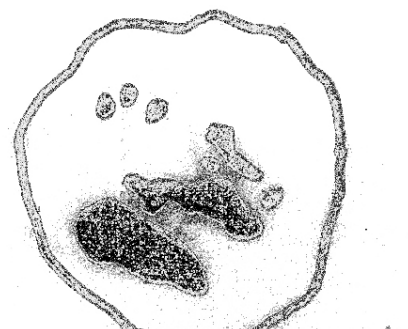
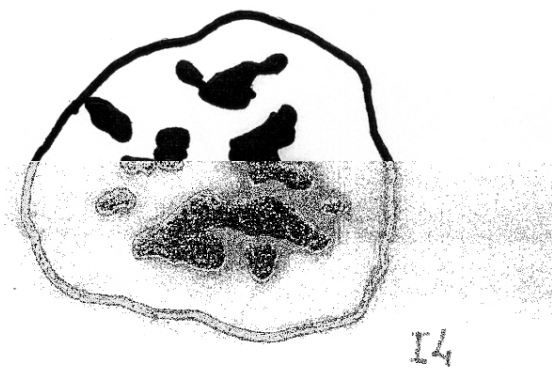


I 2

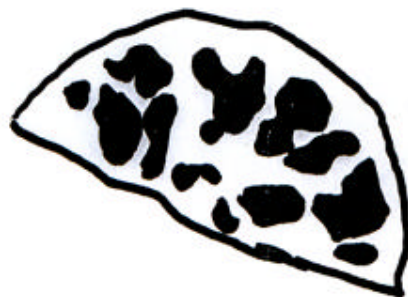


I 2

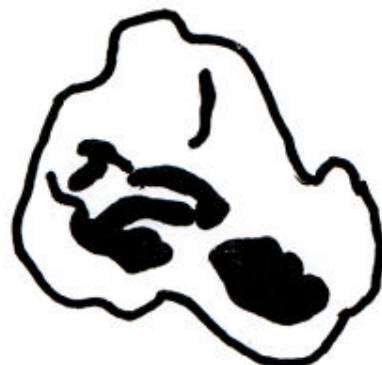




15



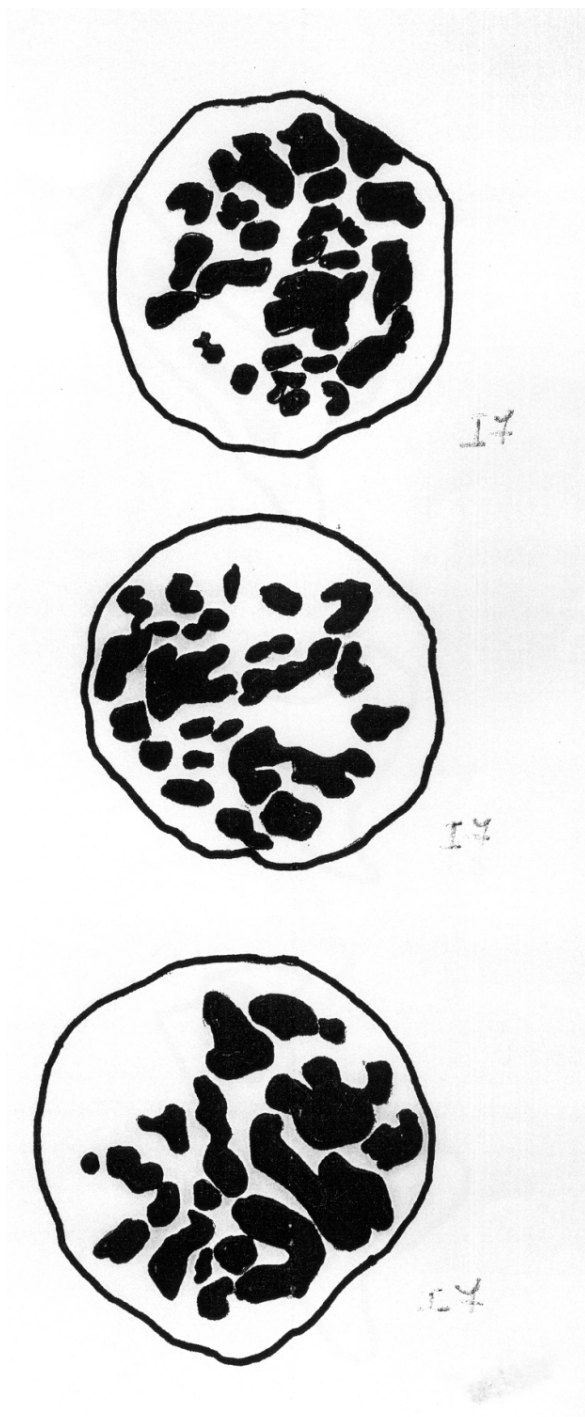
15

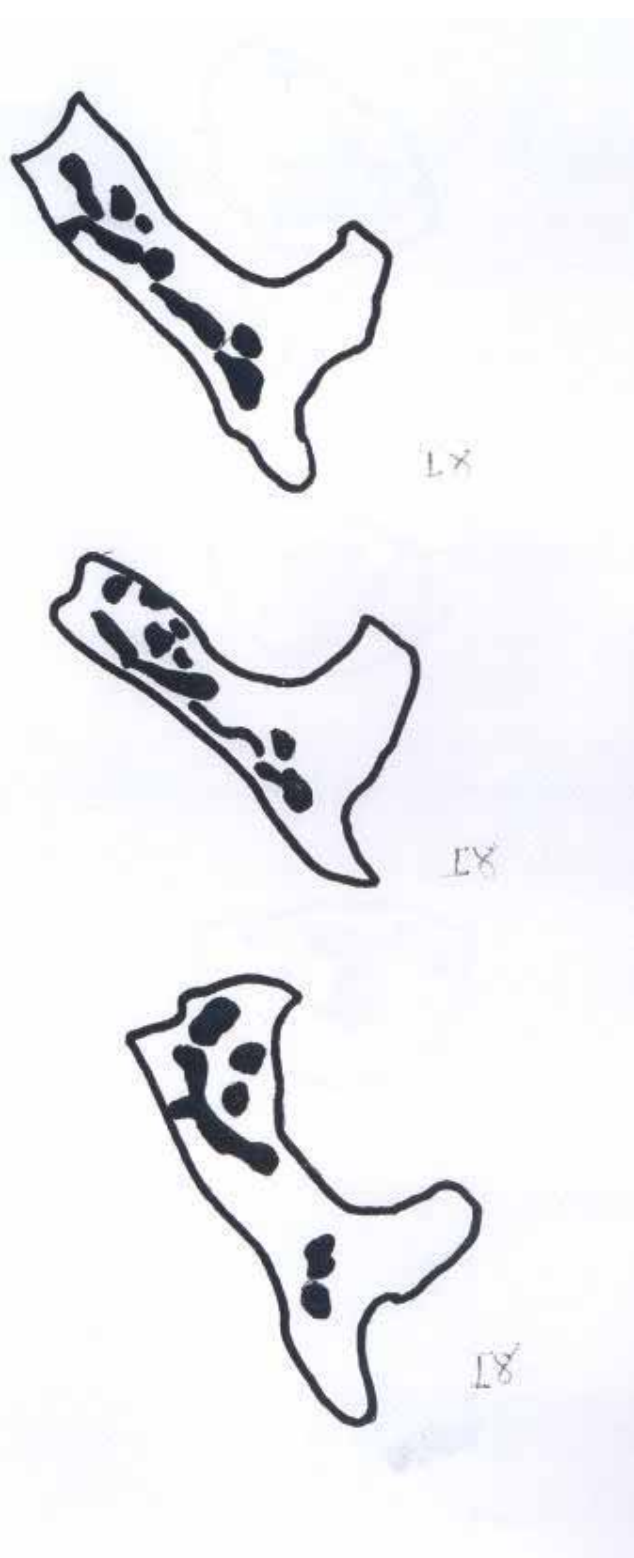


15



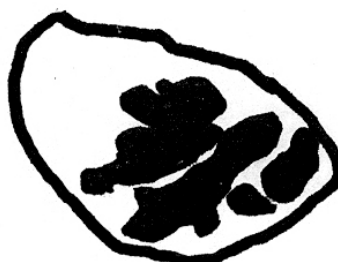
15







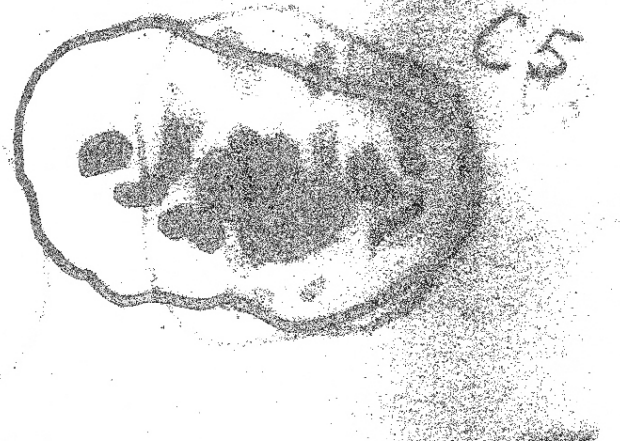
Fig

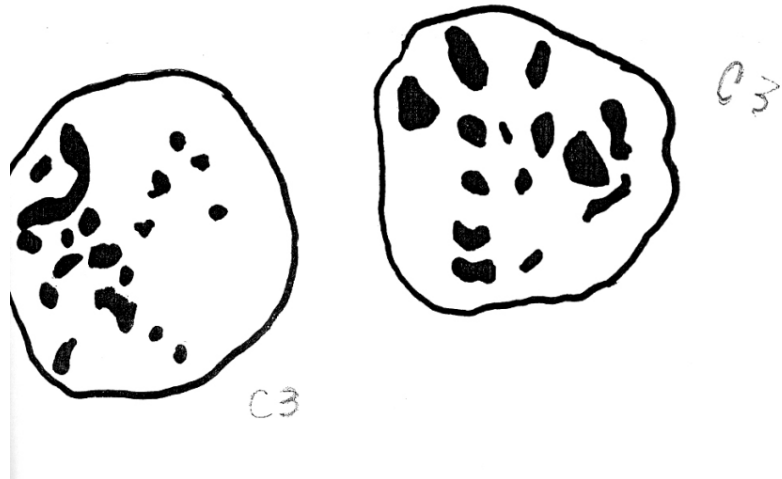
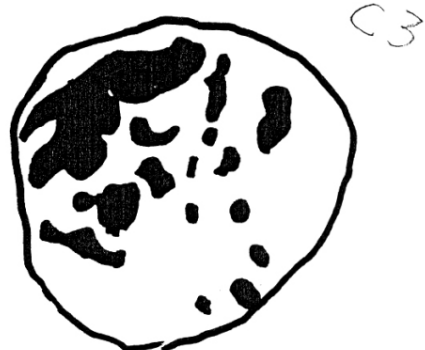


Fig



Fig







C2



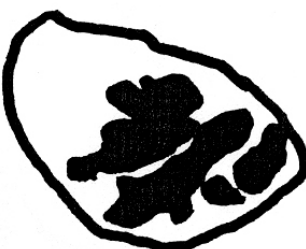
C1



C1



19



19



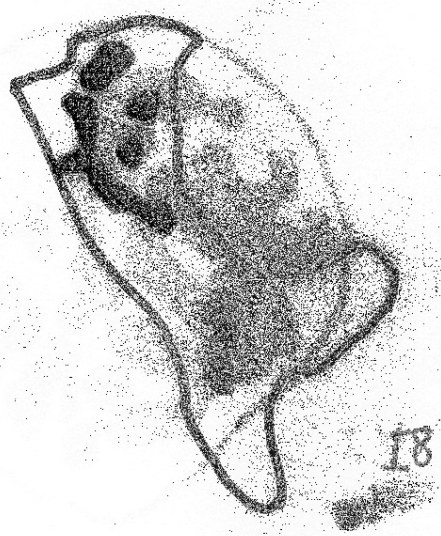
19



18



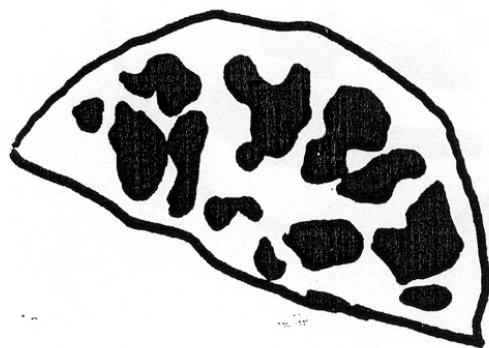
18



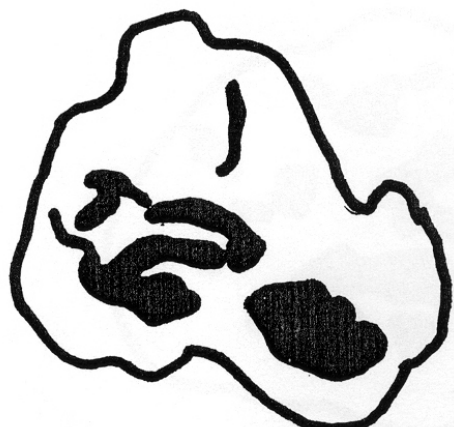
18



I5



I5



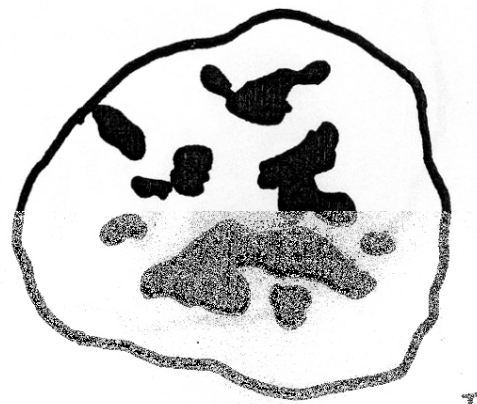
I5



I5



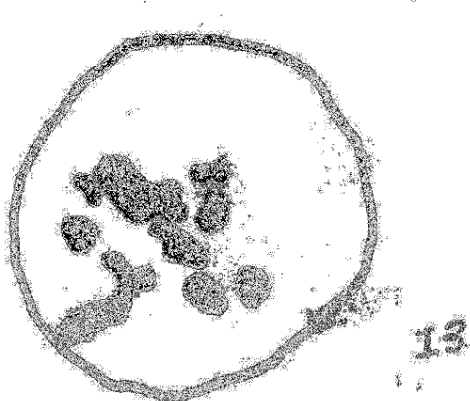
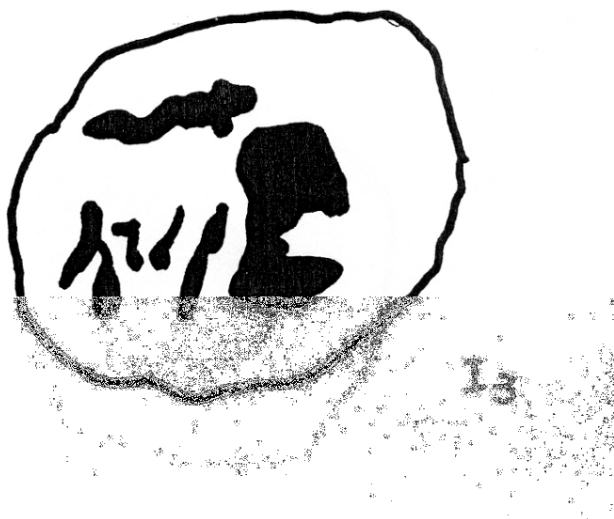
I4

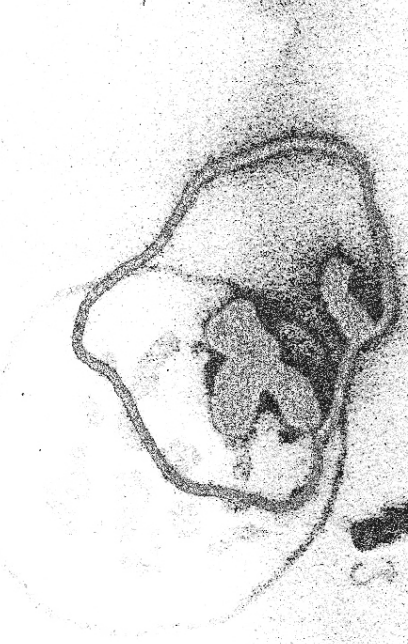
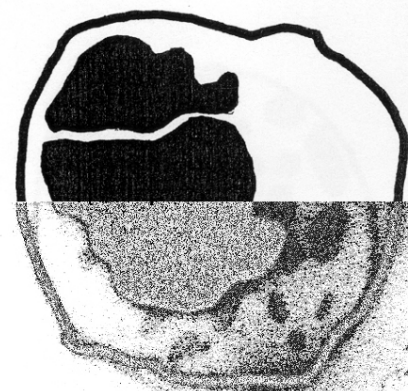


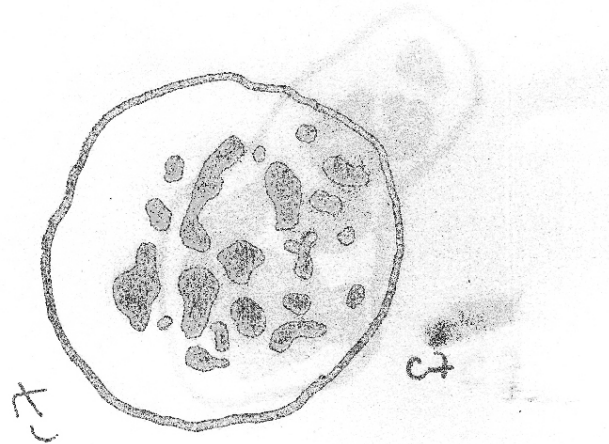
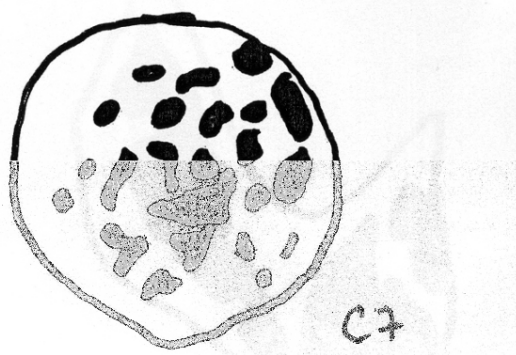
I4

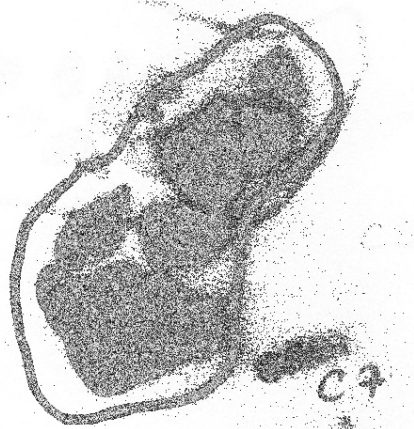
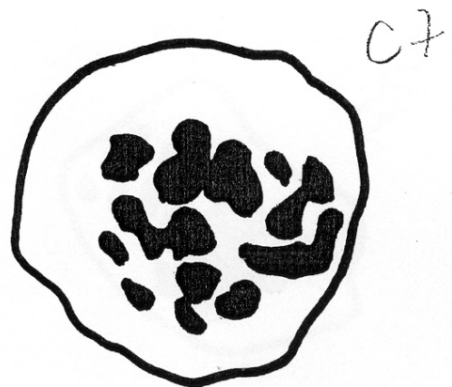


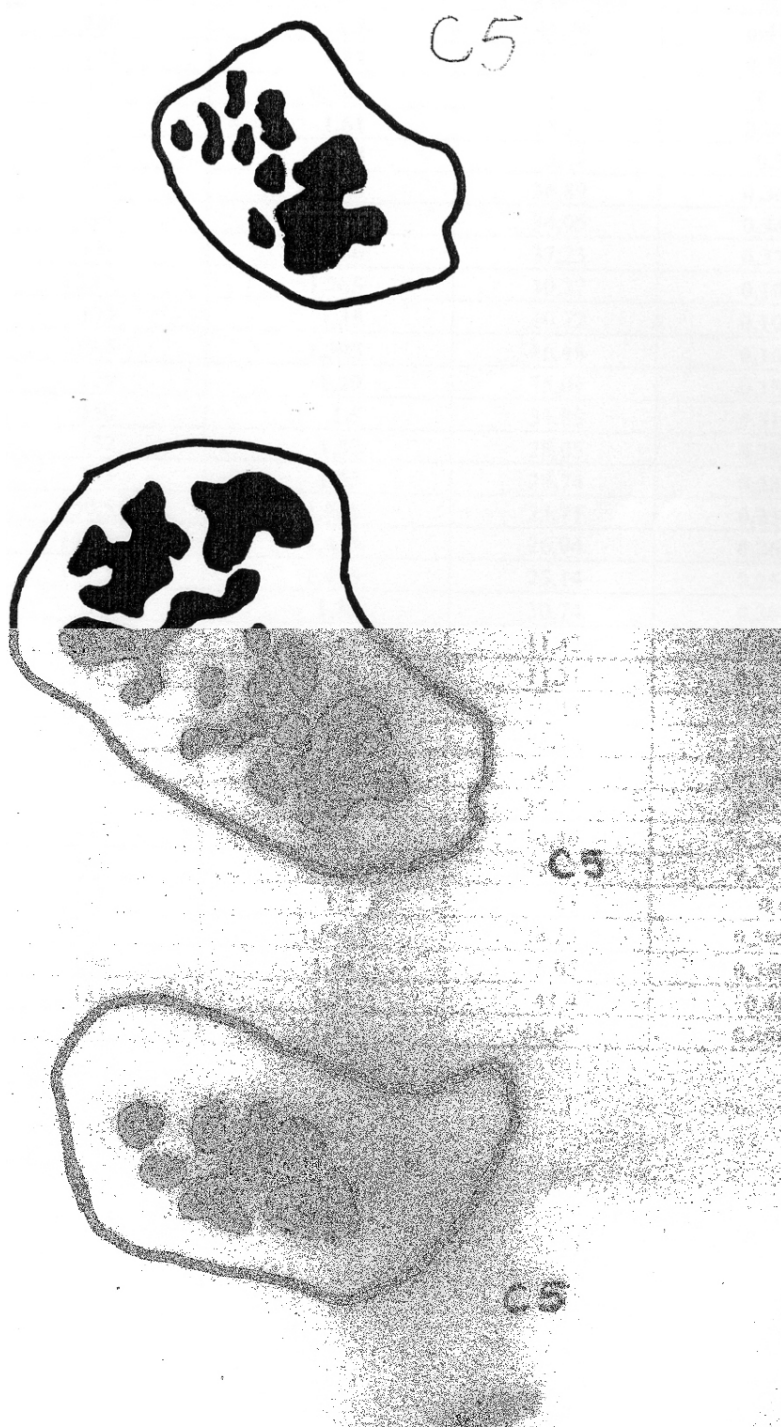
I4











ANEXO 3**Medidas histológicas obtidas do grupo controle**

		Controles		
		Área Óssea	Área Trabecular	
Corte	Área medida	mm²	Área medida	mm²
C 2	180	1,8	41,76	0,4176
C 2	171	1,71	72,18	0,7218
C 5	96,5	0,965	14,1	0,141
C 9	161	1,61	38,17	0,3817
C 9	155	1,55	35,2	0,352
C 9	160	1,6	36,89	0,3689
C 9	168	1,68	34,05	0,3405
C 9	156	1,56	37,23	0,3723
C 10	126,5	1,265	10,27	0,1027
C 10	135	1,35	10,72	0,1072
C 10	139,5	1,395	16,48	0,1648
C 10	129	1,29	15,01	0,1501
C 11	150	1,5	31,89	0,3189
C 11	152	1,52	28,05	0,2805
C 11	153	1,53	28,74	0,2874
C 12	150,5	1,505	23,71	0,2371
C 12	143,5	1,435	26,94	0,2694
C 12	149,5	1,495	25,14	0,2514
C 12	135	1,35	30,74	0,3074
C 13	76,5	0,765	11,42	0,1142
C 13	79,5	0,795	11,31	0,1131
C 13	84,5	0,845	9,43	0,0943
C 14	167	1,67	42,13	0,4213
C 14	168	1,68	38,89	0,3889
C 14	163	1,63	34,27	0,3427
C 14	175	1,75	36,46	0,3646
C 15	146	1,46	39,77	0,3977
C 15	150	1,5	41	0,41
C 15	156,5	1,565	38,53	0,3853
C 17	134	1,34	35,05	0,3505
C 17	131	1,31	41,4	0,414
C 17	131	1,31	40,65	0,4065

Medidas histológicas obtidas no grupo infectado

		Infectados			
		Área Óssea			
		Área medida	mm ²		
I 9	45,5	0,455	6,9	0,069	
I 9	83,5	0,835	22,68	0,2268	
I 11	131	1,31	23,74	0,2374	
I 11	129	1,29	25	0,25	
I 11	134,5	1,345	25,3	0,253	
I 11	146,5	1,465	37,28	0,3728	
I 11	145,5	1,455	35,88	0,3588	
I 11	147,5	1,475	40,43	0,4043	
I 11	147,5	1,475	39,65	0,3965	
I 12	81	0,81	13,72	0,1372	
I 12	98,5	0,985	20,72	0,2072	
I 12	96	0,96	14	0,14	
I 12	87,5	0,875	12,92	0,1292	
I 13	141	1,41	34,92	0,3492	
I 13	148	1,48	34,06	0,3406	
I 13	146	1,46	31,54	0,3154	
I 13	141	1,41	36,61	0,3661	
I 14	102	1,02	25,03	0,2503	
I 14	120	1,2	39,62	0,3962	
I 14	120	1,2	38,11	0,3811	
I 14	119	1,19	35,72	0,3572	
I 15	130	1,3	37,93	0,3793	
I 16	87	0,87	4,34	0,0434	
I 16	142	1,42	28,77	0,2877	
I 16	138	1,38	29,53	0,2953	
I 16	143,5	1,435	31,72	0,3172	
I 16	145	1,45	32,14	0,3214	
I 16	139	1,39	26,05	0,2605	
I 16	141,5	1,415	29,16	0,2916	
I 17	113	1,13	32,25	0,3225	
I 17	106	1,06	30,14	0,3014	
I 17	127,5	1,275	41,6	0,416	
I 17	126,5	1,265	40,83	0,4083	
I 17	132	1,32	36,35	0,3635	
I 17	130,5	1,305	30,71	0,3071	
I 17	114	1,14	30,68	0,3068	
I 18	124	1,24	36,24	0,3624	
I 18	142,5	1,425	43,26	0,4326	
I 18	117,5	1,175	32,77	0,3277	

Normas adotadas para esta Tese

Esta tese seguiu as normas estabelecidas pelo Comitê Internacional de Editores de Revistas Médicas, que são denominadas Uniform Requirements for Manuscripts Submitted to Biomed Journals, e conhecidas como o estilo de Vancouver. Atualmente, mais de 500 periódicos em todo o mundo seguem essas normas, podendo ser localizado na Internet no endereço:
<http://www.cma.ca/publications/mwc/uniform.htm>